

УДК 532.5:517.928.7

© 2000 г. А.Г. ПЕТРОВ

## О ДВИЖЕНИИ ЧАСТИЦ НЕСЖИМАЕМОЙ СРЕДЫ В ОБЛАСТИ С ПЕРИОДИЧЕСКИ ИЗМЕНЯЮЩЕЙСЯ ГРАНИЦЕЙ

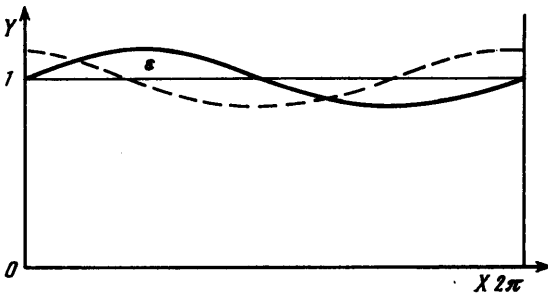
Исследуется движение частиц жидкости несжимаемой среды в полости, ограниченной плоским дном, вертикальными боковыми стенками и верхней границей, деформирующейся по произвольному периодическому закону. Задача сведена к решению уравнений Гамильтонова с периодическим во времени гамильтонианом. Для исследования системы применяются метод усреднения гамильтоновых систем и теория КАМ (Колмогоров, Арнольд, Мозер). Предложена новая модификация процедуры усреднения с помощью точечных отображений Пуанкаре. С точностью до экспоненциально малой амплитуды деформации границы области точки последования Пуанкаре лежат на замкнутых интегральных кривых усредненной автономной гамильтоновой системы. Для усредненного гамильтониана выписывается асимптотическое разложение по амплитуде.

Метод применяется к решению следующих задач. Задача Стокса о переносе массы прогрессивной волной на поверхности тяжелой жидкости конечной глубины. Задачи о движении частиц вязкой и вязкопластичной сред в тонком слое с деформируемой границей. Для конечной амплитуды численно установлено качественное согласие с результатами асимптотической теории. Обсуждаются причины возникновения стохастического режима.

**1. Постановка задачи.** Рассматривается движение несжимаемой среды в расположенной на плоскости области, ограниченной двумя вертикальными прямыми  $0 \leq x \leq L$ , снизу горизонтальной прямой и сверху криволинейной границей, изменяющейся со временем по некоторому периодическому закону  $0 \leq y \leq b(1 + \varepsilon h)$ . В безразмерных координатах  $X = kx$ ,  $Y = y/b$ ,  $t = \omega T$ , где  $k = 2\pi/L$  – волновой вектор,  $\omega$  – частота колебаний границы, такую область  $\Omega_t$  можно представить в виде:  $0 \leq X \leq 2\pi$ ,  $0 \leq Y \leq 1 + \varepsilon h(t, X)$  (фиг. 1), где  $h(t, X)$  – ограниченная по абсолютной величине функция с периодом по времени  $2\pi$ ,  $\varepsilon$  – амплитуда периодической во времени деформации границы. Области в начальный момент времени  $\Omega_0$  и через период  $\Omega_{2\pi}$  совпадают. Векторное поле скорости  $\mathbf{V}$  несжимаемой среды подчиняется уравнению  $\operatorname{div} \mathbf{V} = 0$  и компоненты скорости можно выразить через функцию тока  $\varepsilon H(t, X, Y, \varepsilon)$ . Тогда движение частиц среды  $X(t)$ ,  $Y(t)$  найдется из решения задачи Коши для уравнений Гамильтона

$$\dot{X} = \varepsilon H_Y, \quad \dot{Y} = -\varepsilon H_X, \quad X(t_0) = X_0, \quad Y(t_0) = Y_0 \quad (1.1)$$

В задаче имеются два независимых безразмерных параметра:  $\varepsilon$ ,  $b/L$ . Исследования будут проводиться в виде разложения по малому параметру  $\varepsilon$  и при произвольном отношении  $b/L$ , либо в приближении тонкого слоя, т.е. при произвольной амплитуде  $\varepsilon$ . В приближении тонкого слоя  $b/L \ll 1$  функция Гамильтона представляется в виде разложения  $H = H_0(t, X, Y) (1 + O(b/L))$ , где главный член  $H_0$  определяет функцию тока для течения произвольной несжимаемой среды между двумя параллельными пластинами с распределением по сечению продольной скорости  $H_{0Y}$ . Если ввести без-



Фиг. 1. Схема деформирования области течения

размерную координату  $\eta = Y/(1 + \varepsilon h)$ , функцию  $H_0(t, X, \eta)$  можно найти, интегрируя уравнение

$$H_{0\eta} = qU(\eta, a_i), \quad H_0(t, X, 0) = 0 \quad (1.2)$$

где  $U$  – безразмерный профиль скорости – берется из решения задачи о течении Пуазейля рассматриваемой среды между двумя параллельными пластинами с условием нормировки  $\int_0^1 U d\eta = 1$ . Множитель  $q$  определяется из уравнения сохранения массы несжимаемой среды

$$\frac{\partial h}{\partial t} + \frac{\partial q}{\partial X} = 0, \quad q(t, 0) = 0 \quad (1.3)$$

Приведем несколько примеров.

*Задача о переносе массы прогрессивной волной на поверхности идеальной несжимаемой жидкости конечной глубины.* Гамильтониан представляет собой известную функцию тока, разложение которой по амплитуде волны имеет вид [1]

$$\varepsilon H = \varepsilon \operatorname{sh}(Y + d) \sin(X + t) / \operatorname{sh}(d) + O(\varepsilon^2), \quad d = 2\pi b / L \quad (1.4)$$

*Движение частиц несжимаемой среды в тонком деформирующемся слое.* Для определенности предполагается отсутствие продольной скорости на границе области  $Y = 1 + \varepsilon h(t, X)$ .

Для вязкой жидкости в приближении тонкого слоя [2, 3] профиль скорости  $U$  находится из решения известной задачи о течении Пуазейля

$$U = 6\eta - 6\eta^2, \quad H_0 = q(3\eta^2 - 2\eta^3) \quad (1.5)$$

Для ламинарного течения вязкой жидкости профиль скорости – параболический и не зависит от каких-либо дополнительных параметров.

Для вязкопластической среды профиль скорости  $U$  будет состоять из примыкающих к границам параболических частей и прямолинейной части в квазивердом ядре. Функция тока находится интегрированием уравнения (1.2) [3]

$$H_0 = qf(a, \eta), \quad s = \frac{\varepsilon \mu \omega}{\tau_0 k b}$$

$$f = \frac{3}{\eta_0^2(3 - 2\eta_0)} \begin{cases} \eta^2(\eta_0 - \eta/3), & 0 \leq \eta \leq \eta_0 \\ \eta_0^2(\eta - \eta_0/3), & \eta_0 \leq \eta \leq \frac{1}{2} \end{cases} \quad (1.6)$$

$$\frac{\eta_0^2(1 - \frac{2}{3}\eta_0)}{1 - 2\eta_0} = a \quad (1.7)$$

где  $a = s |q|$  – число Сен-Венана.

В область  $\eta_0 \leq \eta \leq 1$  функция (1.6) продолжается из соображений четности производной  $\partial f / \partial \eta$  по аргументу  $\eta - \eta_0$ .

Для случая  $a \gg 1$  из уравнений (1.6) (1.7) с точностью до малой  $1/(4a+1)^4$  получим [3]

$$f = 3\eta^2 - 2\eta^3 + \frac{\eta^2 - 2\eta^3}{4a+1}, \quad 0 \leq \eta \leq \eta_0 = \frac{1}{2} - \frac{1}{3(4a+1)} \quad (1.8)$$

Функция деформации  $h(t, X)$  и безразмерный расход  $q(t, X)$  связаны уравнением сохранения массы несжимаемой среды (1.3). При деформировании по закону бегущей волны функции  $h$  и  $q$  представляются в виде

$$h = h(X-t), \quad q = h(X-t) - h(-t) \quad (1.9)$$

**2. Об усреднении гамильтоновых систем** Рассматривается задача Коши для уравнений Гамильтона (1.1), где  $H(t, X, Y) = H(t + 2\pi, X, Y)$  – произвольная достаточно гладкая функция с периодом по времени  $2\pi$ .

Традиционный метод усреднения [4, 5] сводится к нахождению канонического преобразования  $X, Y \rightarrow X^*, Y^*$ , приводящего исходную систему (1.1) к автономному виду так, что на отрезке времени порядка  $1/\varepsilon$  разница между точным приближенным решением становится малой порядка  $\varepsilon^k$ ,  $k = 1, 2, \dots$ . В результате уравнения для новых переменных  $X^*, Y^*$  приводятся к гамильтоновой форме  $\dot{X}^* = \varepsilon H_{Y^*}^*$ ,  $\dot{Y}^* = -\varepsilon H_X^*$  с не зависящим от времени гамильтонианом [4].

Ниже дается иной метод построения усредненного гамильтониана автономной системы [6]. Процедура усреднения проводится с помощью точечных отображений Пуанкаре. В предлагаемом методе нет необходимости находить нелинейные замены переменных, что в обычном методе усреднения представляет достаточно трудоемкую задачу.

Исходная задача (1.1) сравнивается с задачей Коши для автономной системы уравнений Гамильтона

$$\dot{X}^m = \varepsilon H_{Y^m}^m, \quad \dot{Y}^m = -\varepsilon H_{X^m}^m, \quad X^m(t_0) = X_0, \quad Y^m(t_0) = Y_0 \quad (2.1)$$

где  $H^m(X^m, Y^m, \varepsilon)$  – не зависящая от времени и подлежащая определению функция Гамильтона.

Верхний индекс "m" и здесь и далее означает знак усреднения.

Для решения задач (1.1) и (2.1) соответственно потребуем совпадение точек последовательности Пуанкаре в моменты времени  $t_n = t_0 + 2\pi n$ ,  $n = 0, 1, 2, \dots$

$$X^m(t_n) = X_n + O(\varepsilon^k), \quad Y^m(t_n) = Y_n + O(\varepsilon^k), \quad X_n = X(t_n), \quad Y_n = Y(t_n) \quad (2.2)$$

Условие (2.2) будет называться стробоскопическим условием, а точки последовательности Пуанкаре  $X_n, Y_n$  – стробоскопическими точками. Эти точки определяют движение точки  $X(t), Y(t)$ , которое можно наблюдать при киносъемке с интервалом между кадрами, равным  $2\pi$ .

Функция Гамильтона  $H^m$  называется стробоскопически усредненной с точностью до  $\varepsilon^k$  по отношению к функции Гамильтона  $H$ , если решения задач Коши (1.1) и (2.1) с этой же точностью совпадают в моменты времени, кратные периоду, т.е. выполнены равенства (2.2).

По заданной  $2\pi$ -периодической функции  $H(t, X, Y)$  усредненный гамильтониан можно вычислять в виде разложений по степеням  $\varepsilon$  из решения следующей системы уравнений:

$$\frac{\partial \Psi}{\partial t} = H\left(t, x + \frac{\varepsilon}{2} \Psi_y, y - \frac{\varepsilon}{2} \Psi_x\right), \quad \Psi(t_0, x, y) = 0 \quad (2.3)$$

$$\frac{\partial \Psi^m}{\partial t} = H^m \left( x + \frac{\epsilon}{2} \Psi_y^m, y - \frac{\epsilon}{2} \Psi_x^m \right), \quad \Psi^m(t_0, x, y) = 0 \quad (2.4)$$

$$\Psi(t_0 + 2\pi, x, y) = \Psi^m(t_0 + 2\pi, x, y) + O(\epsilon^k) \quad (2.5)$$

где функция  $\Psi(t, x, y)$  определяет параметрическое представление решения задачи Коши (1.1) по формулам

$$X = x + \frac{1}{2}\epsilon\Psi_y(t, x, y), \quad Y = y - \frac{1}{2}\epsilon\Psi_x(t, x, y) \quad (2.6)$$

$$X_0 = x - \frac{1}{2}\epsilon\Psi_y(t, x, y), \quad Y_0 = y + \frac{1}{2}\epsilon\Psi_x(t, x, y) \quad (2.7)$$

функция  $\Psi^m(t, x, y)$  определяет параметрическое представление решения задачи Коши (2.1) по формулам, аналогичным (2.6), (2.7).

Смысль равенств (2.3)–(2.7) состоит в следующем. Формулы (2.6), (2.7) дают параметрическое представление отображения Пуанкаре с сохранением элементарной площади [7]. Проверкой можно убедиться, что отображение дает решение задачи (1.1), если функция  $\Psi$  удовлетворяет уравнению (2.3). Функция  $\Psi^m$  в (2.4) определяет параметрическое представление задачи Коши усредненной системы по формулам, аналогичным (2.6), (2.7). Условие (2.5) обеспечивает выполнение условия (2.2).

Точное определение функции  $H^m$  для неинтегрируемых систем невозможно. Теорема Нейштадта [8] утверждает, что всегда существует последовательность канонических замен с экспоненциально малой, неулучшаемой в общем случае, оценкой остаточного члена в гамильтониане порядка  $\exp(-C/\epsilon)$ .

Пусть усредненный гамильтониан  $H^m$  найден с точностью до экспоненциально малой погрешности. Тогда стробоскопические точки  $X_n^m, Y_n^m$  приближенной системы (2.1) лежат на интегральных кривых  $H^m(X_n^m, Y_n^m) = H^m(X_0^m, Y_0^m)$ . Для отклонения стробоскопических точек  $X_n, Y_n$  исходной системы (1.1) от интегральных кривых (2.1) справедлива оценка, вытекающая из теоремы Нейштадта

$$\|H^m(X_n, Y_n) - H^m(X_0, Y_0)\| \leq \epsilon C_1 \exp(-C/\epsilon) 2\pi n \quad (2.8)$$

Из полученной оценки можно сделать вывод, что за асимптотически большое время  $t-t_0 = 2\pi n \leq T_0 \sim \exp(C/\epsilon)$  уход точки исходной системы (1.1) от интегральной кривой усредненной системы (2.1) не превышает малой величины  $\epsilon$ . Неравенство (2.8) гарантирует близость стробоскопических точек исходной и усредненной систем по крайней мере на экспоненциально большом отрезке времени  $T_0$ .

Свойства системы (1.1) на бесконечном интервале времени изучены в теории КАМ [9]. Для системы с одной степенью свободы из существования невырожденного устойчивого равновесия усредненной системы вытекает существование в его окрестности периодического движения системы (1.1) и его устойчивость по Ляпунову (теорема Арнольда) [9].

При изучении технологического процесса перемешивания среды под действием периодической деформации области достаточно ограничиться конечным и не очень большим временем наблюдения. В силу оценки (2.8) за это время стробоскопическое движение при достаточно малых  $\epsilon$  будет близко к замкнутым траекториям движения усредненной системы  $H(X, Y) = \text{const}$  и перемешивания не будет.

Численной характеристикой перемешивания может служить толщина стохастических слоев, определяемая из асимптотической оценки  $e^{-C/\epsilon}$  [10]. Качественному определению этой величины и топологической структуре траекторий движения стробоскопических точек будет посвящено последующее изложение.

**3. Усреднение гамильтониана вида  $\epsilon H(t, X, Y, \epsilon)$ .** Стробоскопически усредненный гамильтониан и функции  $\Psi, \Psi^m$  ищутся в виде разложений по степеням  $\epsilon$ . Из системы (2.3), (2.4), (2.5) последовательно определяются коэффициенты разложений. Двух-

членное разложение усредненного гамильтониана находится в виде

$$H^m = \langle H \rangle - \frac{\epsilon}{2} \left\langle \left\{ H, \int_{t_0}^t H dt \right\} \right\rangle + O(\epsilon^2) \quad (3.1)$$

$$\langle H \rangle = \frac{1}{2\pi} \int_{t_0}^{t_0+2\pi} H dt, \quad \left\{ H, \int_{t_0}^t H dt \right\} = H_y \int_{t_0}^t H_x dt - H_x \int_{t_0}^t H_y dt$$

где  $\langle H \rangle$  означает среднее значение соответствующей функции на отрезке времени  $[t_0, t_0 + 2\pi]$ , фигурными скобками обозначены скобки Пуассона.

Главный член разложения (3.1) совпадает с аналогичным разложением усредненного по Боголюбову гамильтониана в [4], а остальные члены разложения отличаются от него.

*Пример.* Рассматривается течение жидкости, создаваемое прогрессивной волной длины  $2\pi$  в тяжелой жидкости конечной глубины  $d$ . Безразмерная функция тока  $\epsilon H$  представляется разложением по амплитуде волны  $\epsilon$  [1] (1.4), где второй и все последующие члены разложения выражаются линейно через гармоники  $\sin k(x+t)$ ,  $\cos k(x+t)$ . Первый член разложения (3.1)  $\langle H \rangle$  равен нулю. Вычисляя второй член разложения, с точностью до  $\epsilon^3$  находим усредненный гамильтониан и скорость переноса частиц жидкости (Стокс 1847 г.)

$$\epsilon H^m = -\frac{\epsilon^2 \operatorname{sh}[2(Y^m + d)]}{4 \operatorname{sh}^2 d}, \quad v_x^m = \frac{\partial \epsilon H^m}{\partial Y^m} = -\frac{\epsilon^2 \operatorname{ch}[2(Y^m + d)]}{2 \operatorname{sh}^2 d}, \quad v_y^m = 0$$

Заметим, что вывод этого результата обычным способом требует значительно больших выкладок [1, 11].

Этот пример представляет собой интегрируемую гамильтонову систему. В системе координат, связанной с волной, исходный гамильтониан – автономный. Частицы жидкости движутся по линиям тока (интегральным кривым исходного гамильтониана). Поэтому автономный усредненный гамильтониан  $H^m$  может быть найден точно и стохастических режимов в этой системе не будет.

**4. Движение частиц в вязкой жидкости** Функция тока  $\epsilon H$  для течения вязкой жидкости в приближении тонкого слоя определяется по (1.5). Продольная скорость  $\epsilon H_\eta$  как функция поперечной координаты  $\eta$  изменяется по параболе, обращаясь в ноль на границах  $\eta = 0, \eta = 1$ .

Определяем по (3.1) стробоскопически усредненный гамильтониан

$$\epsilon H^m = 6\epsilon^2 \langle qh \rangle Y^2(1-Y)^2(2Y-1) + O(\epsilon^3) \quad (4.1)$$

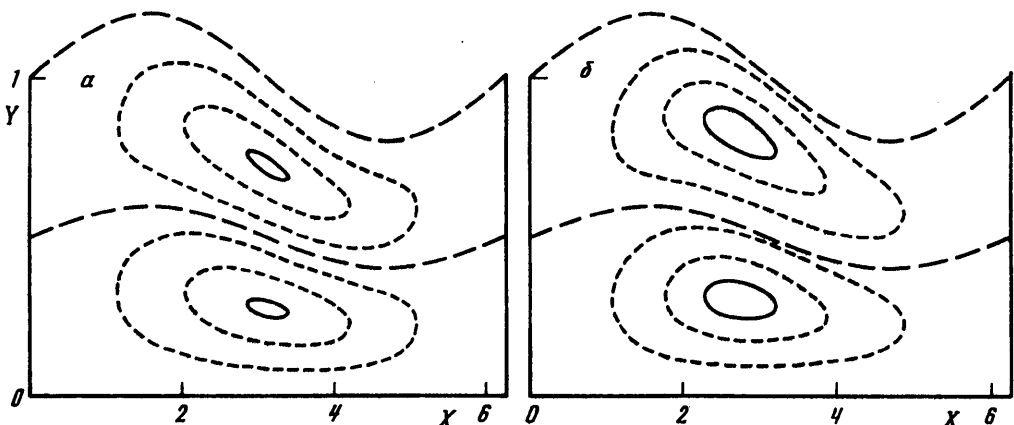
Для исходной системы с гамильтониана  $\epsilon H_0(t, X, Y)$  (1.5) граница области  $X = 0, X = 2\pi, Y = 0, Y = 1 + \epsilon h(t, X)$  является точной предельной траекторией движения частиц жидкости. Кроме того, уравнение  $Y = 1/2(1 + \epsilon h(t, X))$  является точным интегралом уравнений движения. Соответствующие выводы справедливы и для стробоскопических точек и будут точно выполняться для гамильтониана

$$\epsilon H^m = 6\epsilon^2 \langle qh \rangle Y_0^2(1 - Y_0)^2(2Y_0 - 1) + O(\epsilon^2), \quad Y_0 = Y/(1 + \epsilon h(0, x)),$$

который с точностью до  $\epsilon^3$  совпадает с (4.1).

Функция  $H^m(X, Y)$  принимает наибольшее  $H_{\max}$  и наименьшее  $H_{\min}$  значения при  $x = \pi, Y_0 = 1/2 \pm \sqrt{5}/10$ . Фазовые траектории при  $0 \leq H^m \leq H_{\max}$  непрерывно заполняют верхнюю половину области  $\Omega_0$ , при  $H_{\min} \leq H^m \leq 0$  – ее нижнюю половину.

При деформировании по закону бегущей синусоидальной волны находим:  $h = \sin(X-t), q = \sin(X-t) + \sin t, \langle qh \rangle = 1/2(1 - \cos X)$ .



Фиг. 2. Стробоскопические точки для течения вязкой жидкости в тонком слое при деформации границы по закону синусоидальной волны с амплитудой  $\epsilon = 0,2$ ; *a* – осредненное движение, *б* – точный расчет

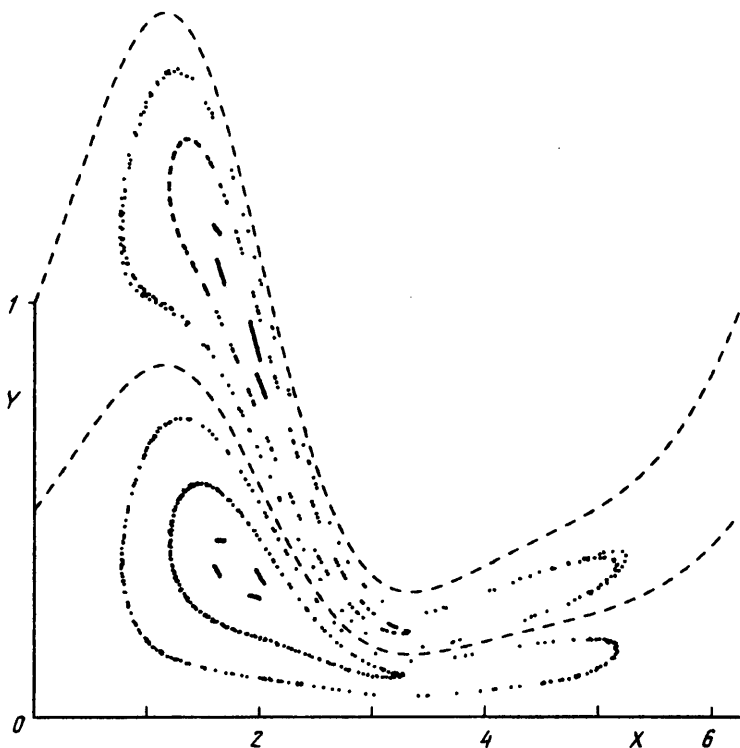
На фиг. 2 изображены стробоскопические точки за время, равное  $100\pi$ : *a* для усредненного гамильтониана  $\epsilon H^m$  и *б* для исходного гамильтониана (1.5) путем численного интегрирования уравнений Гамильтона. В начальный момент времени точки имели координаты  $X_0 = \pi$ ;  $Y_0 = 0,09; 0,16; 0,25; 0,75; 0,83; 0,91$ . Как видно из фиг. 2, стробоскопические точки располагаются на замкнутых интегральных кривых для усредненного гамильтониана.

Вычисления показывают, что при любой конечной амплитуде  $0 < \epsilon < 1$  стробоскопические точки практически не отклоняются от замкнутых интегральных кривых. Топологическая структура стробоскопических траекторий не зависит от  $\epsilon$ . Такое поведение качественно можно объяснить тем, что в силу  $\langle q \rangle = 0$  усредненный гамильтониан имеет порядок  $\epsilon^2$ . В этом вырожденном случае ширина стохастического слоя имеет существенно меньший порядок  $e^{-C/\epsilon^2}$ . Даже при  $\epsilon = 0,8$  размер стохастических щелей очень мал. Для вязкопластической среды усредненный гамильтониан может иметь больший порядок  $\epsilon$  и ширина стохастического слоя будет иметь больший порядок  $e^{-C/\epsilon}$ .

**5. Движение частиц в вязко-пластической среде** Функция тока  $\epsilon H$  для вязко-пластичного течения в приближении тонкого слоя определяется по (1.6), (1.7) или при  $s \gg 1$  по приближенной формуле (1.8). Покажем, что при  $s \gg 1$  усредненный гамильтониан  $\epsilon H^m$ , перемещения частиц за период и собственная частота  $\omega_0$  около критической точки, вообще говоря, имеют первый порядок по  $\epsilon$ . Действительно, все перечисленные выше характеристики имеют одинаковый порядок малости по  $\epsilon$  и поэтому о порядке малости можно судить по усредненному гамильтониану. Применяя формулу осреднения (3.1) и асимптотическую формулу (1.8), получим

$$\epsilon H^m = \eta^2(1-2\eta) \frac{\epsilon}{4s} I(X), \quad I(X) = \frac{1}{2\pi} \int_0^{2\pi} \frac{4sq(t, X)dt}{4s|q(t, X)|+1} \approx \frac{1}{2\pi} \int_0^{2\pi} \text{sign } qdT \quad (5.1)$$

При несимметричном деформировании слоя длина интервала постоянного знака функции расхода  $q$  может отличаться от полупериода. Из (5.1) следует, что гамильтониан и собственная частота в этом случае будут пропорциональны  $\epsilon$ . В пределе  $s \rightarrow \infty$  (вязкая жидкость) гамильтониан и собственная частота будут иметь более высокий порядок малости  $\epsilon^2$ . Можно показать, что усредненный гамильтониан  $\epsilon H^m$  для предельного пластического течения  $s \rightarrow 0$  имеет также более высокий порядок малости  $\epsilon^2$ .



Фиг. 3. Стробоскопические точки для вязкопластического течения в тонком слое при деформации границы по закону бегущей несимметричной волны при условии резонанса 4-го порядка

Таким образом, при несимметричном деформировании при некотором конечном  $s$  размеры стохастических слоев достигают наибольшего значения. Этот случай наиболее интересен для достижения эффекта перемешивания и требует численной проверки.

Была рассмотрена несимметричная деформация вида  $h = \sin(X-t + \epsilon_1(1-\cos(X-t)))$ . При амплитуде  $\epsilon = 0,7$  и коэффициенте асимметрии  $\epsilon_1 = 0,69$  был обнаружен резонанс четвертого порядка. Собственная частота  $\omega_0 = 1/4$  практически не зависела от числа  $s$  в диапазоне  $0,2 < s < 1$ . При меньших и больших значениях параметра  $s$  частота уменьшалась. Тем не менее и в условиях резонанса стробоскопические точки в течение длительного времени ложатся на интегральные замкнутые кривые. На фиг. 3 изображены стробоскопические точки за 200 периодов при  $s = 1$ ,  $\epsilon = 0,7$ ,  $\epsilon_1 = 0,69$ . Начальные точки выбирались из сечения  $X = 2$ .

**Заключение** При периодическом деформировании границы тонкого слоя частицы однородной несжимаемой среды в течение, по крайней мере, экспоненциально большого времени порядка  $\exp(C/\epsilon)$  двигаются по замкнутым интегральным кривым и перемешивания не происходит.

Для моделирования процесса перемешивания следует принять во внимание факторы, неучтенные в рассмотренных моделях, например следующие: отличная от нуля продольная скорость верхней деформируемой границы слоя; непериодическое во времени деформирование границы слоя; начальная неоднородность среды.

Все эти факторы, как показывает численная проверка, существенно влияют на переход к стохастическому режиму.

Автор благодарит Д.М. Климова за внимание и интерес к данному исследованию, а также А.И. Нейштадта и Д.В. Трещева за полезные обсуждения результатов.

Работа выполнена при финансовой поддержке Российского фонда фундаментальных исследований (код проекта 99-01-00250).

### СПИСОК ЛИТЕРАТУРЫ

1. Сретенский Л.Н. Теория волновых движений жидкости. М.: Наука, 1977. 815 с.
2. Гноевой А.В., Климов Д.М., Петров А.Г., Чесноков В.М. Плоское течение вязкопластичных сред в узких каналах с деформируемыми стенками // Изв. РАН. МЖГ. 1996. № 1. С. 23–31.
3. Петров А.Г. Плоская задача о выдавливании вязкопластичной среды параллельными пластиинами // ПММ. 1998. Т. 62. Вып. 4. С. 608–617.
4. Богоявленов Н.Н., Митропольский Ю.А. Асимптотические методы в теории нелинейных колебаний. М.: Наука, 1974. 503 с.
5. Журавлев В.Ф., Климов Д.М. Прикладные методы в теории колебаний. М.: Наука, 1988. 326 с.
6. Петров А.Г. Об усреднении гамильтоновых систем с периодическим по времени гамильтонианом // Докл. РАН. 1999. Т. 368. № 4. С. 483–488.
7. Курант Р., Гильберт Д. Методы математической физики. Т. 2. М.; Л.: Гостехиздат, 1951. 544 с.
8. Нейштадт А.И. О разделении движений в системах с быстро вращающейся фазой // ПММ. 1998. Т. 48. Вып. 3. С. 197–204.
9. Арнольд В.И. Математические методы классической механики. М.: Наука, 1974. 431 с.
10. Трещев Д.В. Введение в теорию возмущений гамильтоновых систем. М.: ФАЗИС, 1998. 181 с.
11. Филлипс О.М. Динамика верхнего слоя океана. Л.: Гидрометеоиздат, 1980. 319 с.

Москва

Поступила в редакцию  
7.IV.1999